自然視と人工の3D立体視における水晶体調節と両眼輻輳の同時測定

Simultaneous measurement of lens accommodation and convergence in natural and artificial 3D vision

塩見 友樹, 梅本 啓太, 小嶌 健仁, 佐野 峻太, 石尾 広武¹⁾, 高田 宗樹²⁾, 大森 正子³⁾, 渡邉 智之⁴⁾, 宮尾 克 名古屋大学情報科学研究科, 1) 福山市立大学, 2) 福井大学, 3) 神戸女子大学, 4) 愛知学院大学

抄録 3D 技術における最近の進歩には眼疲労の増加が伴った。そのような疲労の従来の通常の説明は、調節と輻輳が立体映像中にミスマッチしているため、ということである。

本研究の目的は、若い被験者の中で、彼らが実物の視標と 3D ビデオクリップを見たときの水晶体調節と輻輳の両方の焦点距離を同時測定することであった。この測定は独自の測定機器を使用してなされた。3D ビデオクリップは、液晶シャッタ・グラス・システムを使用して、被験者に提示された。結果は、実物の視対象を見るとき、被験者の調節および輻輳のジオプトリー値は、周期的に視対象の動きに類似して変動したことを示した。この測定法は、立体映像の測定において適切であると考えられました。さらに、被験者が 3D ビデオクリップを見たとき、私たちは水晶体調節と輻輳を測定した。調節と輻輳の両方は、3D ビデオクリップの仮想位置と一致して変動することが分かった。したがって、3D イメージを見ているときに、調節と輻輳の間に不一致はほとんどなかった。

キーワード:同時測定、水晶体調節、輻輳、3 D、立体視

Keywords — simultaneous measurement, accommodation, convergence, 3D, stereoscopic vision.

DOI # 10.1002/jsid.156 Journal of the SID, 2013

Received 08/16/12; accepted 03/15/13.

1 研究目的と背景

3 D映画やテレビにおいて使用されるもののように、進んだ三次元 (3 D) 表示が、今日ますます一般的に広がっている。市場拡大をめざす電機メーカーは、3 Dデジタル・デバイスを備えた製品のラインを強化している。立体映像装置は従来の二次元の映像より多くの情報を伝えることができる。情報のより大きな分量を伝えることができる能力は、3 D技術の開発の1つの理由かもしれない。しかしながら、立体画像を見る場合、人々はときどき眼疲労や3 D酔いの症状を呈することや、その他の不快な感じになることがある¹¹。

水晶体調節と輻輳は人間の視覚の中の重要なシステムである。Toates²⁾は調節と輻輳の研究をレビューした。そして、調節は、目標がはっきり見えるように、焦点を合わせていること、他方で、輻輳は、両眼で同じ対象物に中心窩を合わせるために、眼球を動かすことを必要とする。調節は、眼の毛様体筋の収縮とそれによる水晶体の柔軟性の結果として行なわれる。その結果は、外界中のイメージが網膜(図1)に焦点を合わせるのでである。輻輳は、単一の両眼視を得るか、あるいは、維持するために、両眼の同時の反対方向運動(それぞれが、近づくか、遠ざかるか)である。輻輳は、両眼が反対方向に回転する運動である(Fig. 2)。

調節と輻輳の関係は、人間が両方の目で1つの対象物を見ることを可能にする要因の1つである。Toates^{2),3)}は、目標の接近が輻輳をもたらし、特別な努力を要する調節は、輻輳の神経支配に関係するように見えると述べた。調節と輻輳は、相互に関連している制御システムである。それは、通常の状態のもとでは、調節はある範囲で、輻輳に依存することができる。

イメージが両方の眼(視差)で違った風に捕らえられる場合に、輻輳が生じる。これは、液晶シャッタ・システム、レンティキュラー・システムおよび偏光フ

ィルター・システムのいずれかを用いて、3Dイメージを表示する方法のうちの主要なやり方である。それは多くの改善の工夫がなされた分野4¹,5¹である。

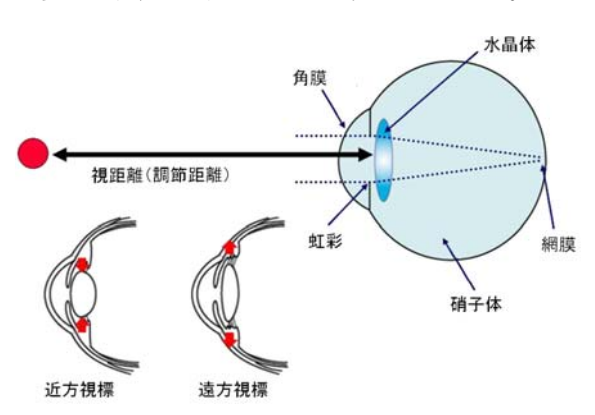


図1. 水晶体調節の原理

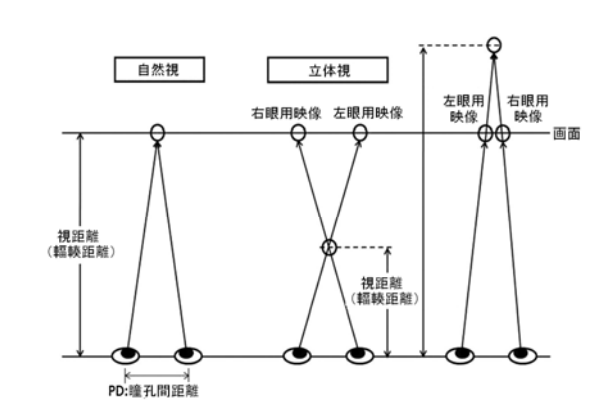


図2. 輻輳の原理

3Dの使用が増加したので、立体映像に関する多くの研究がなされた。これらの研究の多くでは、水晶体調節と輻輳は、3D映像を見ているときに解離している(図3)とみなされてきた。すなわち、水晶体調節は、常に映像が表示されるスクリーン上に固定されているが、他方、輻輳の両眼の視線は立体映像の位置で交差しているというものである。その結果、眼疲労およびその他の関連する症状が出現する^{6)、7)}。水晶体調節と輻輳の間の矛盾というこの見解は非常によく知られている。

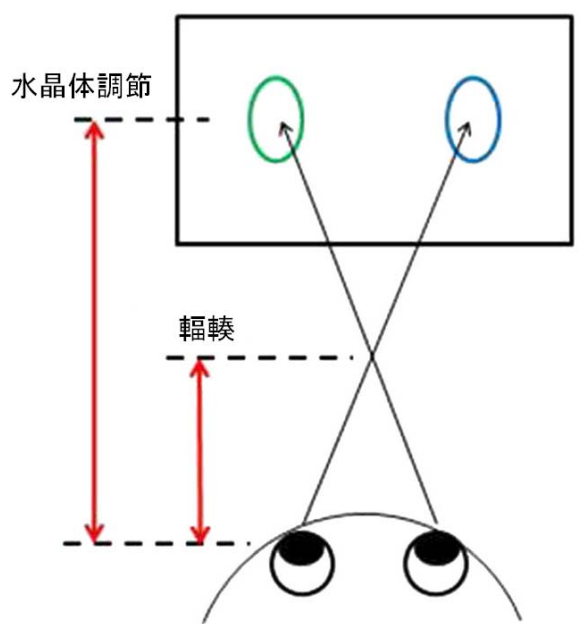


図3. 水晶体調節と輻輳の不一致という従来の説

しかしながら、他の $2 \sim 3$ の研究も同様の結果を示しているが、我々は、以前に調節と輻輳の間にあると推定されている矛盾は生じていないことを示す結果を得た8)。 Pattersonは、調節一輻輳矛盾は、このような映像の観察者に対して存在するかもしれないが、このような問題はディスプレイが眼に近いときにのみ生じやすいことを発見した。なぜなら、視距離が短い場合、被写界深度が浅いからであると述べた。 Pattersonは、さらに、被写界深度のおかげで立体映像を見るほとんどの条件のもとで、調節一輻輳矛盾は起きなさそうであることを示した $9^{1\cdot12}$)。我々の従来の研究で行なわれた測定は、被写界深度の範囲にあり、したがってPattersonの発見に一致する。

我々は、従来の研究では調節と輻輳の同時測定ができなかった。しかしながら、調節と輻輳の間の解離をさらに研究するには、そのような測定が必要である。そこで我々は、調節と輻輳を同時測定する方法を開発した。

人工的な立体映像を研究する際に、自然視の状態の 正確な測定と比較することは不可欠である。したがっ て、我々は、自然視における水晶体調節と輻輳の正確 な同時測定を行なった。その後、我々は、被験者が3 Dイメージを見ているときに同様の同時測定を行ない、 水晶体調節と輻輳の間に矛盾が存在するかどうか研究 した。

2. 方法

我々は2つの実験を行なった。最初の実験はこの同時測定の方法が正確にできるかどうか確認するために行なわれた。第2の実験は、被験者が3D動画を見ているときに、水晶体調節と輻輳の間に解離が存在するかどうかを研究するために行なわれた。これらの実験の中で使用された装置は、オートレフ・ケラトメーターWAM-5500(株式会社シギヤ精機製作所、広島;図4)およびアイマークレコーダ EMR-9 (ナック・イメージテクノロジー株式会社、東京;図5)であった。



図4. オートレフ・ケラトメーター WAM-5500



図5. アイマークレコーダ EMR-9

被験者が遠くの固定された視標を見ている間、WAM-5500は、開放された両眼視野を被験者に与えることができる。この装置には2つの測定モード(静的モードと動的なモード)がある。我々は本実験で動的モードを使用した。WAM-5500は、2段階で屈折値を算出する。赤外光の輪の標的は網膜に反射してから後に結像される。赤外光の減長は950nmである。最初の測定においては、焦点のすぐそばに輪を置くために、レンズが、電動軌跡をすばやく移動する。その後、輪の標的の結像は、ディジタルで分析される。これらの最初とその後の引き続く測定において、多数の子午線の方向に関するドーナツ型の屈折の値を計算される。

メーカーが供給する模擬眼球モデル(屈折力: -4.5D)を、WAM-5500 が動的測定モードで屈折測定することで、機器の正確性を評価できる。WAM-5500は、高速(連続測定)モードの設定で、時間分解能5Hzの速さで屈折値のデータを収集することができる。機器のソフトウェアは動的モードで結果を記録した。結果には、瞳孔径と平均等値化球面屈折の値とそのサンプリングした時刻を含み、これらはエクセルのCSVファイルの形式で、数秒でまとめることができる13),14)。

それと同時に、EMR-9 は瞳孔/角膜反射法で眼球 運動を測定するために使用された。水平方向の測定可 能レンジは40度であり、垂直方向のレンジは20度だ った。また、サンプリングレートは 60Hzであった。 この機器は、被験者の顔の左および右側に固定された 2 台のビデオカメラから成り、また、前額部の上に固 定された、別のカメラ(被験者の視野の撮影ユニット) が追加されていた。赤外光照射の場所は左右の下眼瞼 の前に配置してあった。両側のカメラは、それぞれの 角膜から反射された赤外光を記録し、他方で、額の上 のカメラがスクリーンに表示された映像(被験者がな がめている風景)を記録した。コントローラーは、こ れら3台からの記録をスーパーインポーズし、0.01秒 単位の電子時計の時刻とともに、メモリーカードにま とめて入力した。EMR-9は、1度を超えるか、もしく は 0.1 秒を超える眼球運動の追跡を記録した。この機 器はさらに注視時間を(0.1 秒を超過する場合に)特 定した。我々はこの技術によって眼の注視点を決定す ることができた。この機器の赤外光の波長は850nmで あり、他方、WAM-5500 の波長は 950nmであった。 これらのデータはすべてSDメモリーカード上に保存 され、また、PCに読み込むことができた15),16)。

被験者は、事前に実験の十分な説明を与えられ、また、同意が得られた。被験者は裸眼のままで、あるいは、必要な場合は、ふだん装用しているソフトコンタクトレンズや眼鏡を使用した。また、被験者の屈折は ± 0.25 ジオプトリー内に矯正された。(ジオプトリー(D) は、水晶体の屈折率であり、調節力のインデックスである。それはメートルの逆数である。例えば、0D は無限を表わし、0.5D は 2m を意味する、1D は 1m であり、1.5D は 0.67m である。2D は 0.5m であり、また 2.5D は 0.4m である。) 2 つの装置 (WAM-5500 と EMR-9) は、水晶体調節と両眼輻輳を同時に測定するために組み合わせられた。我々は、調節と輻輳の焦点距離を同時に測定した。その際に被験者は視対象物を見つめており、2 つの装置がそこに備わっていた(図 6)。

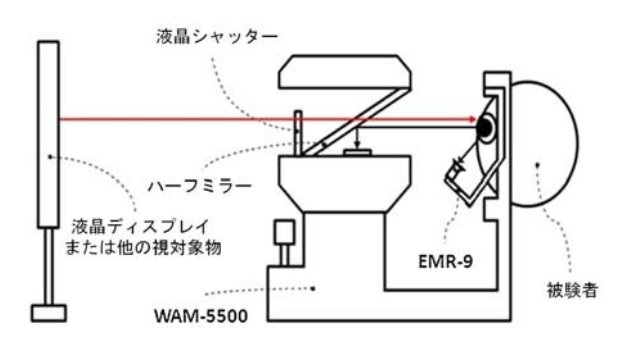


図6. 実験の模式図

2.1 実物の視対象に対する水晶体調節と輻 輳の同時測定

最初の実験は6人の健常な青年(20歳~37歳)で あった。実験は以下の手順で行なわれた。被験者の調 節と輻輳は、彼らが両眼視で、かれらの前方に示され た視対象物(テニスボール:直径 6.6cm)を注視して いる状態で測定された。視対象物の初期位置は、被験 者から1m離れたところであった。この距離は、のち の立体映像の実験の条件と一致させるための距離であ る。視対象物は、被験者から1m(1D)の初期状態 から始められ、その後、0.5m (2D) 被験者に近づい た。そして、再び最初の1mの位置に戻った。この移 動の範囲は1ジオプトリーと等価であった。したがっ て、この視対象物の動きは、両眼の調節のために十分 な刺激を提供したといえる。1回の測定に当たって、 この物体の移動は4回繰り返され、合計 40 秒であっ た。WMT-1 システム(株式会社シギヤ精機製作所, 広島)が、テニスボールの移動に使用された(図7)。



図7. WMT-1 視対象物を動かす装置











図8.3D動画

この装置はトランスファー・マシンで、正弦曲線、三角波あるいはステップ移動のモードで視対象を移動させることができる。本実験においては、正弦曲線運動を使用した。実験室の照度はISOの標準に準拠した。被験者の眼の部位における水平面照度は 683 ルクスであり、鉛直面照度は 103 ルクスであった。この環境におけるテニスボールの輝度は 46.9 cd/m^2 であった。背景の輝度は 56.7 cd/m^2 であった。

2.2 3 D動画に対する水晶体調節と輻輳の 同時測定

別の実験が、6 人の健常な青年(実験 1 と同じ被験者)で行なわれた。前の実験と同様に、被験者が液晶モニターで、被験者の前方に 3 D動画として表示された球体を両眼視で注視しているときの、被験者の調節と輻輳が測定された。 3 D立体動画は、実物体のときと同様に 10 秒周期で同様の動きを繰り返した(図 8)。液晶モニターは被験者から 1 mの位置に置かれた。液晶シャッタ・システムと 19 インチのモニター(FlexScanS1911、EIZO)が、この実験で使用された。このモニターの性能は表 1 に示す。

表 1. ディスプレイの性能

Characteristics	Value
Screen resolution	1280 × 1024
Color usage	16,190,000
Size	19 in.
Pixel pitch	$0.294 \times 0.294 \text{mm}$
Contrast	700:1
Frame rate	29.97 fps
Antialiasing	No
Refresh rate	75 Hz
Height	33.4 cm
Width	40.5 cm

注:この件で用いられた液晶シャッター眼鏡は、シャープの製品である。このシャッターは、明るい場合と暗い場合の透過する輝度の比は、1000倍以上であった。したがって、クロストークの影響は無視しうると考えられる。

Fujine (藤根俊之・シャープ) ら17,18)は、ディスプレイの視距離は、ディスプレイの縦の長さの3倍以上が必要であることを示唆した。我々は、実験手順の中で、この勧奨に従うことを決めた。表1に示したように、モニターの高さは33.4cm であり、すなわち、1m (視距離) の長さに対して3分の1だった。被験者にとっての輻輳角は、もっとも近い距離(被験者から約45cmであり、被験者の瞳孔間距離を65mmと仮定した場合)で8.2度であった。最も遠い位置(上記の瞳

孔間距離を仮定して、被験者から1 m離れた) にバーチャルな球体が移動すると、その場合の輻輳角は、3.7 度であった。

各被験者が 40 秒間動く球体をみているときに、 4 項目の測定が、被験者に対して行われた。この 40 秒間に、被験者は仮想視標の中心を見つめるように指示され、その後、彼らの調節と輻輳が測定された。実験環境の照度は最初の実験と同様であった。モニターの上でも 3 D 動画の球体の輝度は、最初の実験とは、わずかに変化していた。仮想視標(球体)が被験者から最も遠いときには、3.6 cd/m^2 であり、最も接近しているときには、3.1 cd/m^2 であった。スクリーン背景の輝度は 10.8 cd/m^2 であった。

3 結果

本研究では、被験者が両眼視によって、実物のター ゲットと3D動画のターゲットを見つめているときの 被験者の調節と輻輳を同時測定した。これらの測定の 結果は、すべての被験者で、おおむね類似していた。

3.1 実物の視対象物に対する水晶体調節と 輻輳の同時測定

本実験の結果を図9と図10に示す。さらに全被験者の平均は、図11で見ることができる。これらの図のすべてでは、「調節」は、水晶体調節の焦点距離を指す。また、「輻輳」は輻輳焦点距離を指す。また、「球体」は、視対象物の位置を指す。これらの図が示すことは、被験者の調節と輻輳は、一致しているということである。ジオプターの値の変化は、10秒周期で起きていた。さらに、ジオプターの値は、被験者からターゲットまでの距離にほぼ一致していた。

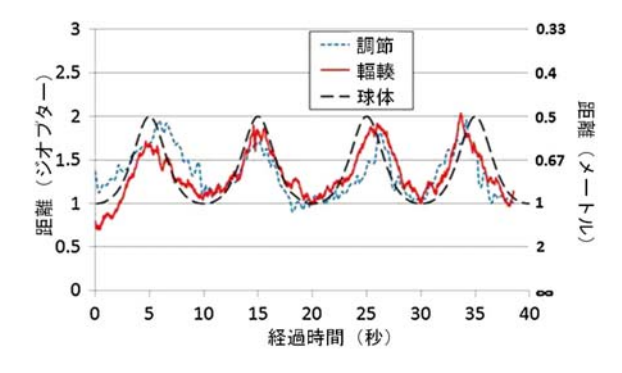


図9. 実物の視対象物に対する水晶体調節と輻輳の同時測定を行なった被験者の典型例(22歳男性)

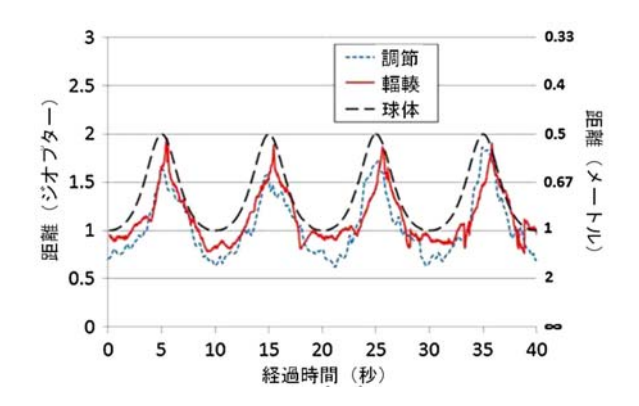


図10. 実物の視対象物に対する水晶体調節と輻輳の 同時測定を行なった被験者の典型例(25歳男性)

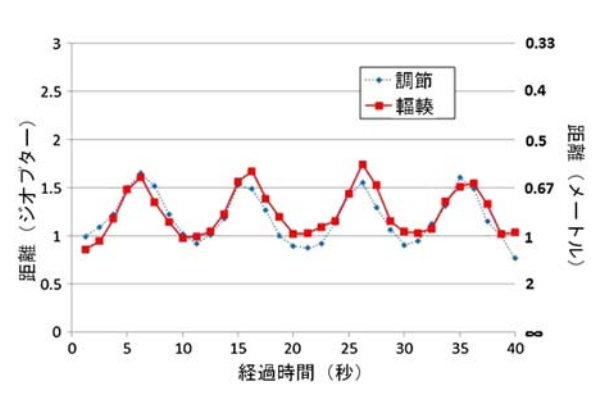


図11. 実物の視対象物に対する水晶体調節と輻輳の同時測定結果 全被験者の平均値(6名:20~37歳)

3.2 3 D動画に対する水晶体調節と輻輳の 同時測定

本実験の結果を図12と図13に示す。さらに全被験者の平均は、図14で見ることができる。これらの図のすべてでは、「球体」は、3D動画の中の球体の仮想位置を指す。また、図12と図13で、「調節」および「輻輳」は、水晶体調節の焦点距離と輻輳焦点距離をそれぞれ指す。図14では、「調節」および「輻輳」は、水晶体調節と輻輳焦点距離をそれぞれ指す。

これらの図において、3 D動画のバーチャルな最近点は被験者の瞳孔間距離の違いによってわずかに異なった。図12では、もっとも近いポイントは44 cm、すなわち 2.3 Dだった。なぜなら、この被験者の瞳孔間距離は63 mm だったからである。図13では、もっとも近いポイントは47.5 cm だった。なぜなら、この被験者の瞳孔間距離は68 mm だったからである。これらの数値から、被験者の調節と輻輳は、ほぼ一致して変動していることが示されている。ジオプトリーの値は、10 秒周期で変化していた。さらに、値は、被験者から3 D動画の仮想位置までの距離にほぼ一致していた。調節と輻輳の間の一致は、図14で示されている。被験者のうち、3 D映像がボケているという報告をしたものはいなかった。

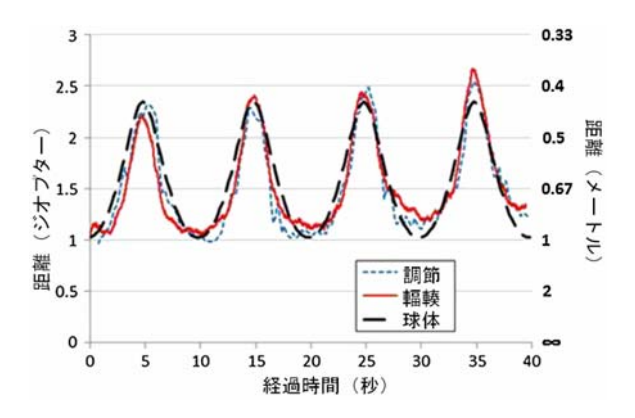


図12.3D動画に対する水晶体調節と輻輳の同時測定を行なった被験者の典型例(23歳男性:瞳孔間距離63 mm)

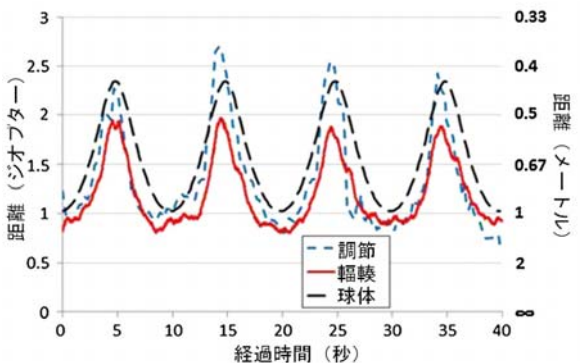


図13.3D動画に対する水晶体調節と輻輳の同時測定を行なった被験者の典型例(25歳男性:瞳孔間距離68 mm)

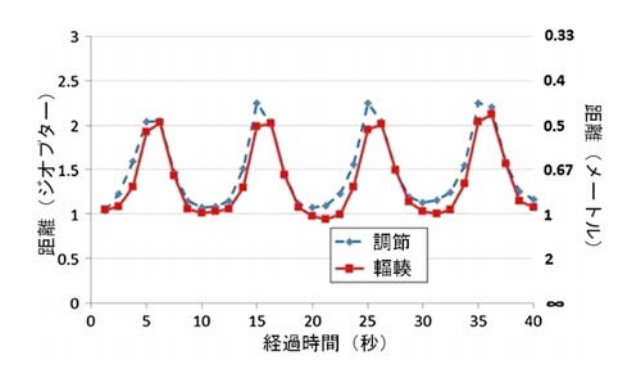


図14.3D動画に対する水晶体調節と輻輳の同時測 定結果 全被験者の平均値(6名:20~37歳)

4 本論文のインパクト (考察)

4.1 実物の視対象に対する水晶体調節と輻 輳の同時測定

この実験では、WAM-5500 オートレフ・ケラトメーターが、各被験者の調節力の正確さを検証するために使用された。WAM-5500 が $-0.01D\pm0.38$ Dという正確さを示したことは、以前に実験的に示されてきた。そして、この機器は、-6.38 Dから+4.88 Dの範囲

で測定が可能である¹⁴⁾。WAM-5500 は、調節力値に基づいて、眼疲労や一過性近視^{19),20)}の研究においても使用された。さらに、WAM-5500 は、近業作業条件のもとでの水晶体調節反応の研究や、一年がかりの視覚不快感の研究^{21),22)}においても使用され、その信頼性は十分であることが明らかとなった。

アイマークレコーダEMR-9がこの研究の中で使用されたが、この機器は過去のさまざまなタイプの研究で使用されてきた。例えば、Egami(江上千代美:福岡県立大学・久留米大学小児科)らは、被験者の眼球運動について、年齢別、眼精疲労の有無、あるいは、数種類の絵を見せた後の学習効果など、研究した 15)。Sakaki(榊泰輔・九州産業大学) 16)は,アイマークレコーダから得られた一瞬のデータから、人間の眼球運動を予測し、サポート・ロボットの操作をよりよく人間をサポートする方向で改善する研究をした。このように多くの研究者が、さまざまな視覚課題に対して、この機器の遂行能力や特性を利用して研究してきた。

本研究において、我々は被験者が実物体を見ている ときの調節と輻輳の焦点距離を測定した。我々は、瞳 孔間距離に基づいて、両眼が協調したデータから輻輳 焦点距離を計算した。

水晶体は、加齢とともに弾力を失い、また、その屈折力も減少する。臨床的に測定された遠近調節力(それは眼の調節力の真のジオプトリーの変化、および視覚の焦点深度の両方を含んでいる)は、かなりはっきりと減少し、16歳の 13Dの調節力から、50歳またはそれ以上の年齢の 2Dまで、低下する23, 24)。

強度の近視、遠視、その他の屈折異常などを有していると正確な調節力は測定できない。しかし、今回の実験の被験者には、そういう異常のある人はいなかった。したがって、被験者は全員、実物の視対象物=テニスボールに対してピントを合わせたに違いない。

さらに、輻輳は、輻輳能力の欠如、輻輳の外眼筋麻痺、あるいは、その他の病的条件でも不可能となりうる²⁵⁾⁻²⁷⁾。しかし、被験者にはだれもそういう症状を持ったものはいなかった。したがって、もし我々の測定が正確に行なわれたならば、調節と輻輳の焦点はともに、実物の視対象物の位置に合っていたであろう。

本実験の結果が示したことは、被験者の調節と輻輳は、被験者がもっとも近いポイントと、もっとも遠いポイントの間で動いている視対象物を注視しているとき、両方ともその場所に、変動するということである。さらに、これらの変動は一定のサイクルで視対象物の動きに合わせて生じていた。したがって、被験者は両眼視で対象物を注視し、また、我々はその結果を測定することができた。

これらの調節の焦点距離は、被験者から視対象物までの距離にほぼ一致していたが、それらはしばしば視対象物をほんの少し超えたところに位置していた。これは、調節焦点が被写界深度のために正確でない場合があり、そういうふうに被験者が対象を見ているという事実から生じるのかもしれない。被写界深度は個々人が(一定の屈折力のもとで)はっきり見ることができる範囲(許容範囲)である。また、それは従来から長い年月、さまざまな面を研究されてきた。被写界深度および瞳孔径は相互に関連している。それらは、環境の照度に応じて変わることが分かった101, 281, 290。こ

の点において、本研究の所見は、我々のかつての研究の所見^{8), 24)}とほぼ一致することが明らかになった。それは水晶体が約 0.4D程度、厳密な値から調節のピントがずれるかもしれないということを示している。

結論として、被験者が視対象物を見つめるとき、調節と輻輳を同時に測定することは可能であった。現在の測定法は視機能の測定のために有効な技術であり、正確な測定値が、たとえ立体視しているときでも得ることができる。この実験ステップに続いて、この後、記述されるように、我々は立体映像に対する水晶体調節および輻輳の同時測定を次に行なった。

4.2 3D動画に対する水晶体調節と輻輳の 同時測定

Hoffman (カリフォルニア大学バークリー校 M.S. Banks教授のグループ)らは、調節と輻輳の間には矛 盾があると述べた⁶。彼らの論文によれば、3D映像 を見ているとき、水晶体調節はディスプレイの位置に 固定されている。しかしながら彼らの実験は、視距離 が非常に短い(30 cm)ものを使用したので、被写界 深度は浅くなった。Shibata(柴田隆史・東京福祉大 学、前早稲田大学河合隆史グループ。この論文は、バ ークリーのBanks, Hoffman らとの共著) らは、さら に調節と輻輳の間の矛盾を報告した300。彼らの実験の 刺激は、ランダムドット・テレレオグラムで、縦縞(た てしま) の深さのある縞模様であった。彼らは独特の 検査刺激を用いた。すなわち、空間周波数で変調され た小さな振幅の(縞の) 奥行き刺激であった。その振 幅は小さかった(最高最低間の視差は4分、すなわち 15分の1度であった。また、空間周波数(視野角1° 当りの縞の繰り返し数) は高かった(視野角1度当た り1サイクル、1.4サイクル、2サイクル)であった。 彼らの刺激は2枚の静止画像の平面上に表示され、 1.2D (83 cm) 離されて置かれた。このように、彼ら の研究 (Banks, Hoddman, Shibataら) はどれも、被 験者の水晶体調節や輻輳は実際には測定していなかっ た。他方で、我々の今回の研究はそれらを測定した。 対照的に、我々は今回の実験において、パワー3D(オ リンパス・メモリーワークス、東京都渋谷区笹塚)を 刺激に使用した。この映像技術は異なる焦点距離およ び異なる輻輳角に対応する多数の焦点面に表示するこ とができる。パワー3Dは、人間の眼の性質を考慮し て作られた非常に自然なダイナミックの動く動画を表 示する。したがって、あたかも映像が本物の動いてい る視対象物であるかのように、本実験における人工の 3 Dに対する水晶体調節は、変動する視標の仮想位置 に近い位置に追随した。

他の研究者^{2),3),32)}は、調節 - 輻輳のミスマッチが 眼疲労や眼の不快感などの問題を引き起こし、それは、 調節と輻輳の間の乖離が原因となると報告した。しか し、今回の実験で我々は調節と輻輳との間に、少なく とも若年被験者を用いる場合には、ミスマッチは存在 しなかった。

我々の従来の研究によれば、調節は、実物の視対象物に厳密には合わず、わずかに視対象物の後方の位置にフォーカスを合わせる^{8),33)}。(このことは、バーチャ

ルな映像の場合にも言える。)我々のかつてのこれらの研究は、若い被験者の視対象物の後方への調節のギャップが 0.4 D以内であったことを示した。今回の実験におけるギャップも、やはり、この範囲内であった。本研究で、被験者が 3 D動画を見たとき、調節と輻輳は、 3 D動画の仮想位置とほぼ一致した。

Patterson⁹は、調節-輻輳矛盾は、近接ディスプレイ(被験者と画面との間の視距離が近い)特有の問題のはずであり、その他の、そう近くないほとんど全ての立体ディスプレイにとっての看視条件のもとでは、被写界深度のおかげで、そういう問題(調節-輻輳矛盾)は起きないであろうと報告した。

人間の被写界深度の知覚に影響する 2 つの要因は瞳孔径と解像度である9)。瞳孔径が輝度の上昇によって直線的に縮小するとともに、人間の被写界深度は変化する34),35)。瞳孔径は、0.03 cd/m2の輝度レベルに対しては 6 mmを少し超えるくらいであり、300 cd/m2の輝度レベルに対しては約 2 mmの大きさになるであろう。瞳孔径が 1 mm縮小するごとに、被写界深度は約 0.12 ジオプトリー増加する9), 11)。被写界深度は、空間周波数によっても影響を受ける。OgleとSchwartzは、焦点深度のトータルな範囲は、視標の視角が 0.25 分増加すると、約 0.35 ジオプトリー増加することを見つけた。この 2 人の研究者は、焦点深度のトータルな範囲は、1.0 分の視標に対して平均 0.66 ジオプトリーであることを示した。

Patterson⁹は、焦点深度の幅(鮮明に見える範囲) は平均で約 1.0 ジオプトリーのオーダーであると述べ た。したがって、注視点が 0.5mである場合、被写界 深度のトータルな範囲は注視点の約 0.1m手前の位置 (2.5D) から、注視点の後ろ 0.17 mの距離 (1.5D) までである。注視点が 1mに対しては、被写界深度の 範囲は注視点の手前、約 0.33 mの位置 (1.5D) から、 注視点の背後に約1 mの距離(0.5D)までであろう。 注視点が 2 mに対しては、被写界深度の範囲は注視点 の手前、約1.0mの距離(1D)から、注視点の背後に 無限遠 (0D) までであろう。Wang¹²⁾らは、加齢とと もに瞳孔径が縮小するので、加齢によって被写界深度 が増加したことを示した。彼らによれば、若年の観察 者の被写界深度に関する典型的な値は、おおむね 0.8D から 1.2Dである。 今回の研究において、映像がボケて 見えると報告した被験者はいなかった。これは、被験 者が3D映像を見ているときに、ターゲットが被写界 深度の範囲の中に設定されたからかもしれない。

Patterson⁹およびPattersonとSilzars³⁶は、立体表示を見ることに伴う眼疲労と見ることの不快感は、両眼視差の存在する一方で、運動視差が欠如していることのハイ・レベルな葛藤から生まれるのではないか、との説を提案した。

今後、我々は、このハイ・レベルな矛盾が、3D映像を見ている人の視覚疲労、3D酔い、あるいはその他の不快感に貢献するのか、より詳しく研究して行きたい。

5 結語

本研究において、我々は被験者が実物体を見ているときの水晶体調節と輻輳の両方を同時に測定することができた。これらの方法を使用して、我々は被験者が3D動画を見ているときの調節と輻輳焦点距離を測定した。結果は、若い被験者が3D動画を見ているときに調節と輻輳の間に、解離はほとんど存在しなかった。どの被験者も仮想位置に焦点を合わせて際に、映像がボケているようには見えなかった。Patterson の発見した所見と、関連した研究に基づくならば、調節一輻輳の間にミスマッチがないときに(調節のフォーカスが画面から離れていて、バーチャルな位置に合っている)、ボケた映像とならなかったことは、調節の変動が被写界深度の範囲内にあったという仮説によって説明できるであろう。

次には被験者の調節の手がかりに影響する別の方法で、水晶体調節が影響されることはありえる。例えば、ルービック・キューブの立方体の先端は、球体より明瞭な調節の手がかりとして用いられるかもしれない。我々は、この件の研究を今後行っていくことを計画している。さらに我々は、立体映像のメカニズムを包括的に理解するために、視対象物の運動速度について研究することが必要であり、また、環境の照度を変化させて検討する必要があるであろう。

謝辞

本研究は日本学術振興会(JSPS) 科研費(B) 24300046 と 23300032 の補助を受けて実施された。

参考文献

- 1 M. Lambooij et al., "Visual discomfort and visual fatigue of stereoscopic displays: a review," J. Imaging Sci. Technol. 30201-1-30201-14, 53, 03 (2009)
- 2 F. M. Toates, "Accommodation function of the human eye," Physiol. Rev. 52, 828–863 (1972).
- 3 F. M. Toates, "Vergence eye movements," Doc. Ophthal. 37, 153–214 (1974).
- 4 A. Cho et al., "A study on visual characteristics binocular 3-D images," Ergonomics 39, No. 11, 1285–1293 (1996).
- 5 R. Sierra et al., "Improving 3D imagery with variable convergence and focus accommodation for the remote assessment of fruit quality," SICE-ICASE Int. Joint Conf. 2006, 3554–3558 (2006).
- 6 D. M. Hoffman et al., "Vergence–accommodation conflicts hinder visual performance and cause visual fatigue," J. Vis. 8, No. 3, 1–30 (2008).
- 7 K. Ukai and P. A. Howarth, "Visual fatigue caused by viewing stereoscopic motion images: background, theories, and observation," Displays 29, No. 2, 106–116 (2008).
- 8 M. Miyao et al., "Visual accommodation and subject performance during a stereographic object task using liquid crystal shutters," Ergonomics 39, No. 11, 1294–1309 (1996).

- 9 R. Patterson, "Human factors of stereo displays: an update," J. SID 17, No. 12, 987–996 (2009).
- 10 F. W. Campbell, "The depth of field of the human eye," Int. J. Optics. 4, No. 4, 157–164 (1957).
- 11 K. N. Ogle and J. T. Schwartz, "Depth of focus of the human eye," J. Opt. Soc. Am. 49, 273–280 (1959).
- 12 B. Wang and K. J. Ciuffreda, "Depth of focus of the human eye: theory and clinical applications," Surv. Ophthal. 51, 75 (2006).
- 13 A. Queiro's et al., "Influence of fogging lenses and cycloplegia on openfield automatic refraction," Ophthal. Physiol. Opt. 28, 387–392 (2008).
- 14 A. L. Sheppard and L. N. Davies, "Clinical evaluation of the Grand Seiko auto ref/keratometer WAM-5500," Ophthal. Physiol. Opt. 30, 143–151 (2010).
- 15 C. Egami et al., "Developmental characteristics of visual cognitive function during childhood according to exploratory eye movements," Brain Dev. 31, 750–757 (2009).
- 16 T. Sakaki, "Estimation of intention of user arm motion for the proactive motion of upper extremity supporting robot," Rehabilitation Robotics, 2009. Proc. ICORR 2009. IEEE Int. Conf., 486–490 (2009).
- 17 T. Fujine et al., "Real-life in-home viewing conditions for flat panel displays and statistical characteristics of broadcast video signal," Jpn. J. Appl. Phys. 46, No. 3B, 1358–1362 (2007).
- 18 T. Fujine et al., "The relationship between preferred luminance and TV screen size," Proc. SPIE 6808, 68080Z-1-12 (2008).
- 19 C. Tosha et al., "Accommodation response and visual discomfort," Ophthal. Physiol. Opt. 29, 625–633 (2009)
- 20 E. Borsting et al., "Measuring near-induced transient myopia in college students with visual discomfort," Amer. Acad. Opt. 87, No. 10, 760–766 (2010).
- 21 C. Chase et al., "Visual discomfort and objective measures of static accommodation," Optom. Vis. Sci. 86, No. 7, 883–889 (2009).
- 22 E. Borsting et al., "Longitudinal study of visual discomfort symptoms in college students," Optom. Vis. Sci. 85, No. 10, 992–998 (2008).
- 23 M. Dubbelman et al., "Changes in the internal structure of the human crystalline lens with age and accommodation," Vision Res. 43, No. 22, 2363–2375 (2003).
- 24 C. Ramsdale and W. N. Charman, "A longitudinal study of the changes in the static accommodation response," Ophthalmic Physiol. Opt. 9, No. 3, 255–263 (1989).
- 25 M. W. Rouse et al., "Validity and reliability of the revised convergence insufficiency symptom survey in adults," Optom. Vis. Sci. 80, No. 12, 832–838 (2003).
- 26 M. Scheiman et al., "A survey of treatment modalities for convergence insufficiency," Optom. Vis. Sci. 79, No. 3, 151–57 (2002).

- 27 K. Ohtsuka et al., "Accommodation and convergence palsy caused by lesions in the bilateral rostral superior colliculus," Am. J. Ophthalmol. 133, No. 3, 425–427 (2002).
- 28 W. N. Charmana and H. Whitefoota, "Pupil diameter and the depth-of-field of the human eye as measured by laser speckle," Int. J. Optics. 24, No. 12, 1211–1216 (1977).
- 29 S. Marcosa et al., "The depth-of-field of the human eye from objective and subjective measurements," Vision Res. 39, No. 12, 2039–2049 (1999).
- 30 T. Shibata et al., "The zone of comfort: predicting visual discomfort with stereo displays," J. Vis. 11, No. 8, 1–29 (2011).
- 31 R. Patterson et al., "Perceptual issues in the use of head-mounted visual displays," Hum. Factors 48, 555 (2006).
- 32 M. Velger, "Helmet-Mounted Displays and Sights," Boston: Artech House (1998).
- 33 Y. Otake et al., "An experimental study on the objective measurement of accommodative amplitude under binocular and natural viewing conditions," Tohoku J. Exp. Med. 170, 93–102 (1993)
- 34 I. E. Loewenfeld, "The Pupil: Anatomy, Physiology and Clinical Applications," Ames: Iowa State University Press (1993).
- 35 P. Reeves, "The response of the average pupil to various intensities of light," J. Opt. Soc. 42, 35–43 (1920).
- 36 R. Patterson and A. Silzars, "Immersive stereo displays, intuitive reasoning, and cognitive engineering," J. SID 17, No. 5, 443–448 (2009).





上本啓太は、名古屋大学大学院情報科学研究科情報システム学専攻宮尾研究室の院生である。彼は、2013年3月25日に修士号を授与された。彼は立体視における見え方のがは、の研究の研究なった映像が焦点を合わせるための筋肉のレラクゼーションに影響するかどうかについても研究してきた。



小蔦健仁は、名古屋工業大学大学院工学研究 科で2012年に修士号を授与された。同年、彼 は名古屋大学院情報科学研究科博士課程 に入学した。今日、彼はモバイル・ディスプ レイの環境照度と可読性の研究をしている。



佐野峻太は、名古屋大学大学院情報科学研究科情報システム学専攻宮尾研究室の院生である。彼は、2013年3月25日に修士号を授与された。彼は、種々の環境下での電子ベーバーの見やすさと可読性や、3万ディス円の研究をしており、年齢に関連して照明がどのような影響を与えるか研究している。



石尾広式は、1985年に京都大学大学院理学 研究料理論物理学専攻で、PhDを授与された。2011年から福山市立大学都市経営学部の教授として勤務している。彼の主たる 切っない、カオスの研究、計算機物理学、そしてヒューマン・コンピュータ・インタラクションである。





渡邉智之は、名古屋大学大学院医学系研究科でPhDを授与あれた。現在、彼は関かいた大学の進教技学の本名された。のの研究。今日である。彼の研究。今日である。であるまなディーで、記知症を有するを大、健常対した。 認知症を有するをしている。 聖転と連転技能の評価に関する研究をしている。

